

Stopp 2.3 Pötschenstraße Kehre 1 (optionaler Aussichtspunkt, bei guter Fernsicht)

Tektonische Einheit: Juvavisches Deckensystem.

Thema: Schichtfolge der Dachstein-Decke, transgressive Überdeckung der Hallstätter Schichtfolge der jurassischen Gleitmasse der Goisern-Aussee-Decke durch Oberjura-Karbonate und Überschiebung der Dachstein-Decke.

Koordinaten des Aussichtspunktes: 47°36'44"N; 013°39'44"E

Literatur: SCHÄFFER 1982 (Geolog. Karte) und MANDL, VAN HUSEN & H. LOBITZER 2012 (Erläuterungen dazu).



Abb. 2.10: Lageplan Haltepunkte 2.3 und 2.4

Abb. 2.11: Die Ostflanke des Ramsaugebirges

Der Blick gegen Westen zeigt in den Felswänden des Ramsaugebirges die charakteristische Dolomitmorphologie mit ihren pyramidenförmigen Verwitterungsformen. Das von Süden nach Norden ansteigende, vegetationsbedeckte „grüne“ Band zeichnet das karnische Band der Nordalpinen Raibler Schichten nach, das hier die Trennung zwischen Wettersteindolomit und Hauptdolomit klar erkennen lässt. Im Gipfelbereich wird der Hauptdolomit von Dachsteinkalk überdeckt. Im Rücken unseres Aussichtspunktes sind an der Pötschenstraße gebankte dunkle Kalke und Dolomite der Gutenstein-Formation aufgeschlossen, welche hier die Trias-Schichtfolge der Dachstein-Decke komplettieren.

Der Blick gegen Nordwesten zeigt unter den Gesteinen der Dachstein-Decke eine gegen Osten ansteigende Felsstufe (Jochwand, Ewige Wand, Predigstuhl) die schließlich in der Zwerchwand den höchsten Punkt erreicht. Dabei handelt es sich um oberjurassischen Tressensteinkalk (Kimmeridgium-Tithonium), der die Hallstätter Schichtfolge der Goisern-Aussee-Decke nach ihrer Platznahme im Radiolarit des basalen Oberjura (Oxfordium) überdeckt – siehe dazu Abb. 2.12. Die Kuppel des Raschberges bildet innerhalb der Goisern-Aussee-Decke das größte zusammenhängende Areal mit Hallstätter Gesteinen, in welchem deshalb auch einige der lateralen Übergänge zwischen Hallstätter „Grau-“ und „Bunzfazies“ überliefert sind.

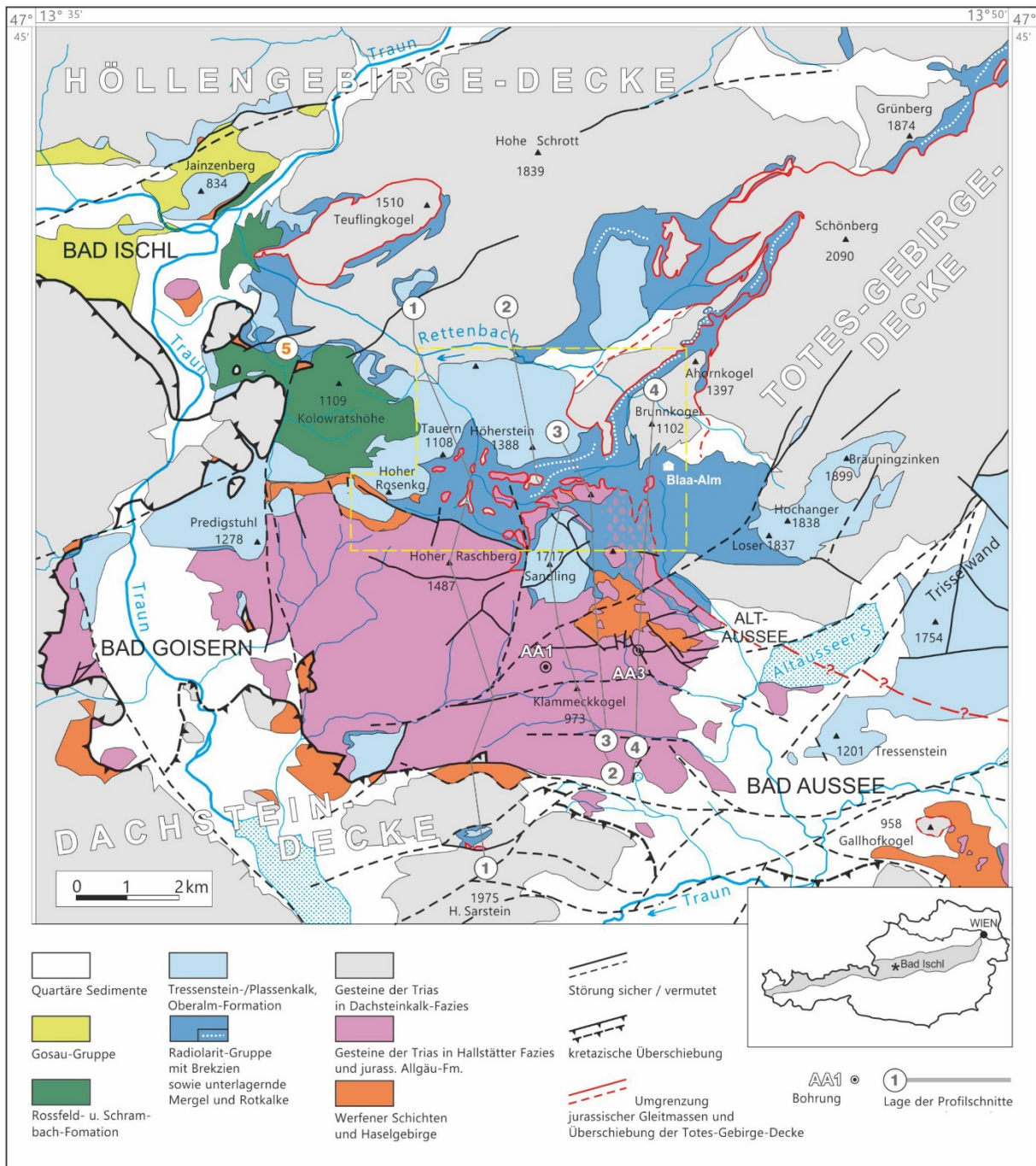
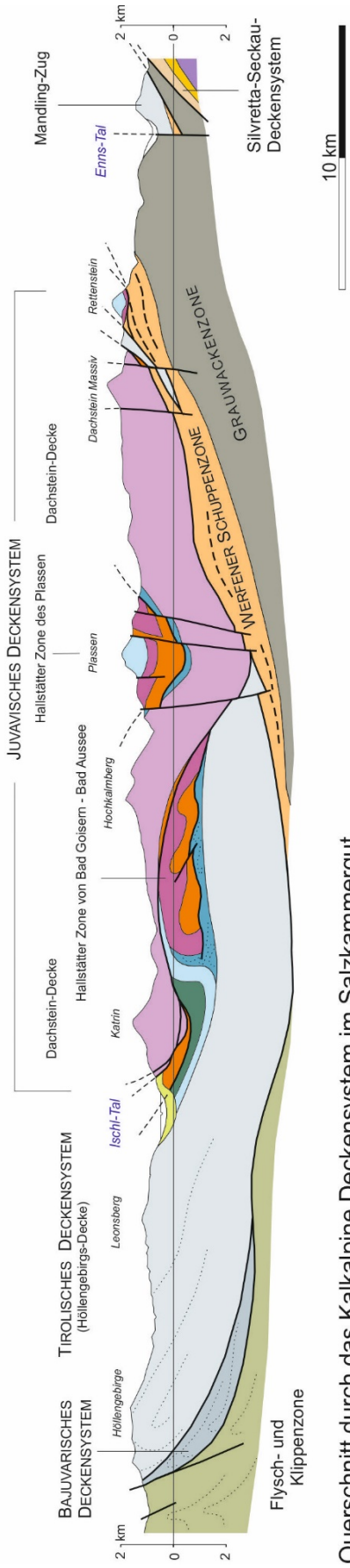
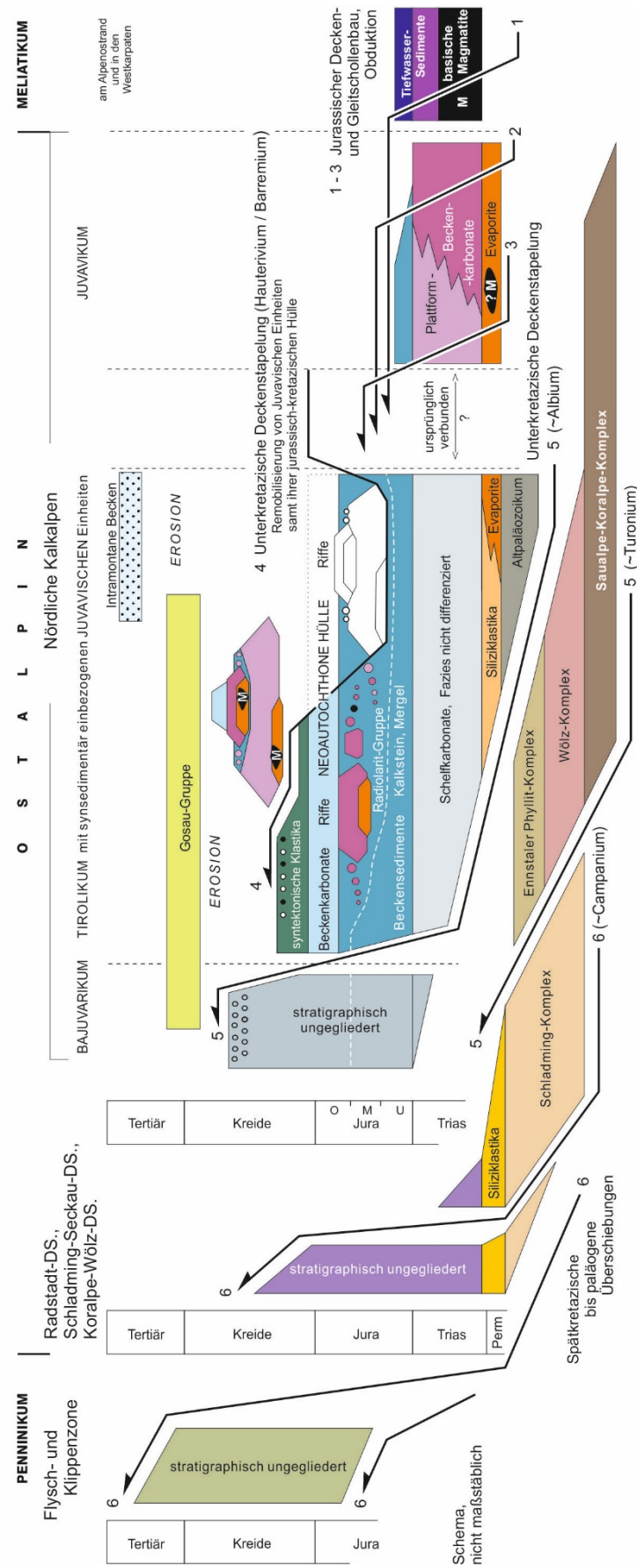


Abb. 2.12: Geologischer Bauplan (oben; nach MANDL 2013: Abb.1) und Schema der Wechselfolge von Sedimentation und Tektonik (rechts; nach MANDL 2009: Taf.8).

Beachte: Die Gesteine der Trias in Dachsteinkalkfazies sind in der Karte **nicht** nach Tirolikum und Juvavikum farblich unterschieden!



Querschnitt durch das Kalkalpine Deckensystem im Salzammergut



Wechselfolge von Sedimentation und Tektonik im Mittelabschnitt der Nördlichen Kalkalpen und in angrenzenden großtektonischen Einheiten

Literatur

- EGGER, H. (Red.) (2007): Erläuterungen zur Geologischen Karte der Republik Österreich 1:50.000, Blatt 67 Grünau im Almtal. – 66 S., 2 Taf., Wien (Geol. B.-A.).
- EGGER, H. & VAN HUSEN, D. (2007): Geologische Karte der Republik Österreich 1:50.000, Blatt 67 Grünau im Almtal. – Wien (Geol. B.-A.).
- EGGER, H. & VAN HUSEN, D. (Red.) (2009): Erläuterungen zur Geologischen Karte der Republik Österreich 1:50.000 Blatt 64 Straßwalchen. – 87 S., Wien (GBA).
- EGGER, H. & MOHAMED, O. (2010): A slope-basin model for early Paleogene deep-water sedimentation (Achthal Formation nov. nom.) at the Tethyan continental margin (Ultrahelvetic realm) of the European Plate (Eastern Alps, Germany). – *Austrian Journal of Earth Sciences*, **103**, 121-137, Wien.
- EGGER, H. & WESSELY, G. (2014): Wienerwald. Geologie, Stratigraphie, Landschaft und Exkursionen. 3. völlig neu bearbeitete Auflage. – *Sammlung Geologischer Führer*, **59**, 203 S., Stuttgart (Gebr. Borntraeger).
- EGGER, H., HEILMANN-CLAUSEN, C. & SCHMITZ, B. (2000): The Palaeocene/Eocene-boundary interval of a Tethyan deep-sea section and its correlation with the North Sea Basin. – *Société Géologique de France Bulletin*, **171**, 207-216, Paris
- EGGER, H., BRIGUGLIO, A., RÖGL, F. & DARGA, R. (2013): The basal Lutetian transgression on the Tethyan shelf of the European craton (Adelholzen beds, Eastern Alps, Germany). – *Newsletter on Stratigraphy*, **46/3**, 287-301, Berlin (Borntraeger).
- FLÜGEL, E. (1963): Zur Geologie der Sauwand bei Gußwerk (Steiermark). – *Mitt. natwiss. Verein Steiermark*, **93**, 4 Abb., 4 Taf., 8 Tab., 2 Beil., Graz 1963.
- Fugger, E. (1900): Das Salzburger Vorland. – *Jb. k.k. Geol. Reichsanstalt*, **49** (1900), 287-428, Wien (k.k. Geol. Reichsanstalt).
- GAWLICK, H.-J., SCHLAGINTWEIT, F. & SUZUKI, H. (2007): Die Ober-Jura bis Unter-Kreide Schichtfolge des Gebietes Höherstein - Sandling (Salzkammergut, Österreich) - Implikationen zur Rekonstruktion des Block-Puzzles der zentralen Nördlichen Kalkalpen, der Gliederung der Radiolaritflyschbecken und der Plassen-Karbonatplattform. – *N. Jb. Geol. Paläont. Abh.*, **243/1**, 1-70, Stuttgart.
- HAHN, F. F. (1912): Versuch zu einer Gliederung der Austroalpinen Masse westlich der österreichischen Traun. – *Verh. Geol. R.-A.*, **1912**, 337-344, 1 Abb., Wien.
- HAHN, F. F. (1913): Grundzüge des Baues der nördlichen Kalkalpen zwischen Inn und Enns. – *Mitt. geol. Ges. Wien*, **6**, 238-257 u. 374-501, 6 Abb., Taf. 11-17, Wien.
- KOBER, L. (1955): Bau und Entstehung der Alpen. 2. Aufl. – 379 S., 100 Abb., 3 Taf., Wien (Deuticke).
- KRYSTYN, L. & MANDL, G.W. (Eds.) (2008): Upper Triassic Subdivisions, Zonations and Events. Meeting of the late IGCP 467 and STS – Abstracts and Excursion Guide September, 28th - October, 2nd, 2008 Bad Goisern (Upper Austria). – *Berichte Geol. B.-A.*, **76**, 81–98, Wien – Bad Goisern.
- MANDL, F. (2011): Felsbilder. Österreich-Bayern, Nördliche Kalkalpen. – *Forschungsberichte ANISA*, **4**, 360 S., Haus i. Ennstal (ANISA, Verein f. alpine Forschung).
- MANDL, G.W. (1984): Zur Trias des Hallstätter Faziesraumes - ein Modell am Beispiel Salzkammergut (Nördliche Kalkalpen, Österreich). – *Mitt. Ges. Geol. Bergbaustud. Österr.*, **30/31** (1984), 133-176, Wien.
- MANDL, G.W. & MATURA, A. (1995): Geologische Karte der Republik Österreich 1:50.000, Blatt 127-Schladming. – Wien (Geol. B.-A.).
- MANDL, G.W. (2009): Nördliche Kalkalpen (Juvavikum, Tirolikum, Bajuvarikum). – In: PESTAL, G., HEJL, E. BRAUNSTINGL, R. & SCHUSTER, R. (Red.) (2009): Erläuterungen zur Geologischen Karte von Salzburg 1:200.000. – 80-97, Wien (Geol. B.-A.).
- MANDL, G.W. (2013): Zur Geologie des Raumes Hütteneckalm – Sandlingalm – Blaa-Alm (Salzkammergut, Österreich) mit kritischen Anmerkungen zur Sandlingalm-Formation. – *Jb. Geol. B. A.*, **153/1-4**, 33-74, Wien.

- MANDL, G.W., LOBITZER, H. & VAN HUSEN, D. (Red.) (2012): Erläuterungen zu Blatt 96 Bad Ischl der Geologischen Karte der Republik Österreich 1:50 000. – 215 S., 4 Taf., Wien (Geol. B.-A.).
- MANDL, G.W., HEJL, E. & VAN HUSEN, D. (Red.) (2014): Erläuterungen zu Blatt 127 Schladming der Geologischen Karte der Republik Österreich 1:50 000. – 192 S., 4 Taf., Wien (Geol. B.-A.).
- MOJSISOVICS, E.V. (1903): Übersicht über die geologischen Verhältnisse des Salzkammergutes. – (In:) SUSS, E. (Hrsg.): Bau und Bild Österreichs., 383-391, Wien-Leipzig (Tempsky-Freytag).
- MOSTLER, H. (1978): Ein Beitrag zur Mikrofauna der Pötschenkalke an der Typlokalität unter besonderer Berücksichtigung der Poriferenspiculae. – Geol. Paläont. Mitt. Innsbruck, **7/3**, 1-28, Innsbruck.
- PILLER, W.E. (1981): Upper Triassic (Norian-Rhaetian) Basinal Facies. – [In:] FLÜGEL, E. (Ed.): International Symposium on Triassic Reefs Erlangen 1981, Guide Book. – 185-205, Erlangen (Inst. f. Paläontologie, Univ. Erlangen).
- PLÖCHINGER, B. (1976): Die Oberalmer Schichten und die Platznahme der Hallstätter Masse in der Zone Hallein-Berchtesgaden. – N. Jb. Geol. Paläont. Abh., **151**, 304-324, Stuttgart.
- RICHTER, M. (1929): Die nordalpine Flyschzone zwischen Salzburg und Wien. – Centralblatt f. Miner., Geol. & Pal., Abt. B., **1929**, 369-379, Stuttgart (Schweizerbart).
- RICHTER, M. & MÜLLER-DEILE, G. (1940): Zur Geologie der östlichen Flyschzone zwischen Bergen (ObB.) und der Enns (Oberdonau). – Z. dt. Geol. Ges., **92**, 416-430.
- SCHÄFFER, G. (1976): Arbeitstagung der Geologischen Bundesanstalt Blatt 96 Bad Ischl, Salzkammergut (26.05. – 30.05.1976). 48 S., Wien (Geol. B.-A.).
- SCHÄFFER, G. (1982): Geologische Karte der Republik Österreich 1:50.000, Blatt 96 Bad Ischl. – Wien (Geol. B.-A.).
- SCHLAGER, W. (1967): Hallstätter- und Dachsteinkalk-Fazies am Gosaukamm und die Vorstellung ortsgebundener Hallstätter Zonen in den Ostalpen. - Verh. Geol. B.-A., **1967**, 50-70, 3 Taf., Wien.
- STAMPFLI, G.M., MOSAR, J., MARQUER, D., MARCHANT, R., BAUDIN, T. & BOREL, G. (1998): Subduction and obduction processes in the Swiss Alps. – Tectonophysics, **296**, 159-204, Amsterdam (Elsevier).
- TOLLMANN, A. (1976a): Monographie der Nördlichen Kalkalpen, Teil II: Analyse des klassischen Nordalpinen Mesozoikums. Stratigraphie, Fauna und Fazies der Nördlichen Kalkalpen. - XV +580 S., Wien (Deuticke).
- TOLLMANN, A. (1976b): Monographie der Nördlichen Kalkalpen, Teil III: Der Bau der Nördlichen Kalkalpen. Orogene Stellung und regionale Tektonik. – IX +457 S., 130 Abb., 7 Taf., Wien (Deuticke).
- TOLLMANN, A. (1981): Oberjurassische Gleittektonik als Hauptformungsprozeß der Hallstätter Region und neue Daten zur Gesamttektonik der Nördlichen Kalkalpen in den Ostalpen. - Mitt. österr. geol. Ges., **74/75** (1981/82), 167-195, 4 Abb., Tab., Wien.
- ZANKL, H. (1969): Der Hohe Göll. Aufbau und Lebensbild eines Dachsteinkalk-Riffes in der Obertrias der nördlichen Kalkalpen. - Abh. Senckenberg. naturforsch. Ges., **519**, 1-123, 74 Abb., 15 Taf., Frankfurt/M.

JUFA Hotel Almtal
 Hinterrinnbach 17, 4645 Grünau im Almtal, Österreich
 Telefon: (+43) 57 083 570

JUFA Hotel Altaussee
 Lichtersberg 67, 8992 Altaussee, Österreich
 Telefon: (+43) 57 083 560